

УДК 620.171.3

# ОПРЕДЕЛЕНИЕ ФРИКЦИОННЫХ ХАРАКТЕРИСТИК МАТЕРИАЛОВ РЕЗЬБОВЫХ СОЕДИНЕНИЙ СБОРНЫХ ГРЕБНЫХ ВИНТОВ\*

В.И. Малыгин, Н.В. Лобанов, А.В. Васильев

Исследовалось влияние состояния сопрягаемых резьбовых поверхностей на характеристики трения при затяжке высоконагруженных болтовых соединений. Уточнена величина коэффициента трения в условиях, приближенных к реальным. Оценена стойкость к схватыванию поверхностей трения на пути трения, достаточном для затягивания рассматриваемых соединений.

**Ключевые слова:** трение, резьбовое соединение, стойкость к схватыванию.

## Введение

Проблема механического соединения элементов ответственных конструкций, работающих в условиях больших нагрузок, при которых необходимо исключить разрушение соединения, весьма актуальна. В частности, такие соединения используются в производстве сборных гребных винтов с диаметрами до 8 м для судов ледового класса, где в качестве крепящих элементов применяются резьбовые соединения M85x4...M110x4. Необходимое усилие предварительной затяжки (до 2400 кН) требует создания большого момента, расчетное значение которого достигает 40 кН·м, что вызывает проблемы, особенно при монтаже и демонтаже лопастей непосредственно на судне в условиях дока или стапеля, а также в условиях эксплуатации.

Проблема усугубляется явлением схватывания поверхностей в резьбовых соединениях, детали которых изготовлены из нержавеющих сталей. Производственный опыт показывает, что в таких резьбовых соединениях местные схватывания поверхностей резьбы возникают довольно часто, в отдельных случаях приво-

дя к невозможности обеспечения требуемого усилия затяжки или ослабления соединения при демонтаже и, как правило, к неустранимым повреждениям резьбы болта и ступицы. В расчетах болтовых соединений «лопасть–ступица» по ОСТ 5.4023-80 коэффициент трения рекомендуется принимать равным: 0,13 – для кадмированных поверхностей резьбы без смазки; 0,1 – для кадмированных поверхностей со смазкой; 0,2 – для резьбовых поверхностей без покрытия и без смазки.

Задачей данного исследования явилось уточнение значений коэффициента трения пар материалов резьбовых соединений сборных гребных винтов в зависимости от давления на поверхности трения и различных видов покрытия поверхностей трения со смазкой и без смазки.

Исследование носило прикладной характер, поэтому условия его проведения конкретизировались особенностями используемых конструкций, а также материалов и технологии затяжки резьбовых соединений «лопасть–ступица» сборных гребных винтов.

\* Работа выполнена в Северном (Арктическом) федеральном университете – головном исполнителе НИОКР «Освоение высокотехнологичного мелкосерийного производства научкоемкой продукции – отечественных импортозамещающих движительно-рулевых колонок и их компонентов для судов ледового класса» при финансовой поддержке проекта Министерством образования и науки РФ в рамках Постановления Правительства РФ № 218 от 9 апреля 2010 г.

## Постановка и проведение исследования

Экспериментально определялись фрикционные свойства двух пар материалов:

- сталь 07Х16Н4Б-Ш – сталь 08Х14НДЛ;
- сталь 07Х16Н4Б-Ш – бронза БРА9Ж4Н4МЦ.

Нержавеющая сталь 07Х16Н4Б-Ш ( $\sigma_{0,2} = 690$  МПа;  $\sigma_b = 834$  МПа) применяется как материал для изготовления болтов, нержавеющая сталь 08Х14НДЛ ( $\sigma_{0,2} = 510$  МПа;  $\sigma_b = 648$  МПа) и бронза БРА9Ж4Н4МЦ ( $\sigma_{0,2} = 245$  МПа;  $\sigma_b = 590$  МПа) – как материал для производства ступиц и лопастей. Шероховатость поверхностей трения соответствовала реальной шероховатости поверхностей резьбы болта и ступицы  $R_a = 1,6...2,5$  мкм.

Испытания проводились как без покрытия, так и с покрытием поверхности трения стали 07Х16Н4Б-Ш. В качестве покрытия использовалась газодинамически напыленная медь толщиной 12,5 мкм, которой обычно покрывают резьбу болтов. Для сравнения исследовались аналогичные покрытия алюминием и цинком. Испытания покрытых и непокрытых поверхностей трения проходили со смазкой и без смазки. Для смазки была выбрана антизадирная паста OKS 245, используемая при затяжке резьбовых соединений «лопасть–ступица».

Эксперименты проводились на специально спроектированной и изготовленной установ-

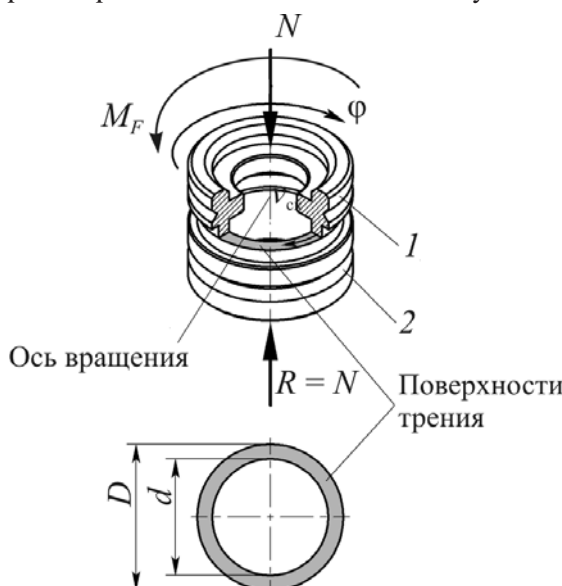


Рис. 1. Схема экспериментального соединения подвижного (1) и неподвижного (2) образцов; R – сила реакции опоры; N – нормальная сила давления; φ – угол поворота образца;  $M_F$  – момент трения

ке, размещенной на испытательной машине УМ-10. Коэффициент трения определялся на плоских поверхностях трения в условиях, воспроизводящих условия при затягивании резьбовых соединений «лопасть–ступица» сборных гребных винтов. Схема соединения подвижного и неподвижного образцов представлена на рис. 1.

Использовались образцы, имеющие плоские кольцевые (торцевые) поверхности трения: 1 – подвижный образец (сталь 07Х16Н4Б-Ш); 2 – неподвижный (сталь 08Х14НДЛ, бронза БРА9Ж4Н4МЦ), с наружным диаметром  $D$ , внутренним  $d$ , площадью трения  $A_F = \pi(D^2 - d^2)/4$ . Трение скольжения со скоростью  $v_{ск}$  на поверхностях создавалось вращением подвижного образца.

Нормальное давление  $p_N$  на поверхностях трения возникало под действием силы  $N$ , приложенной к подвижному образцу по оси вращения. Сила  $N$  измерялась с помощью тензометрического датчика с пределами измерения 10...100 кН, а момент трения  $M_F$  – с помощью моментного ключа с пределами измерения момента 40...450 Н·м.

Среднее нормальное давление  $p_N$  на поверхностях трения вычислялось как

$$p_N = N/A_F$$

Размеры поверхности трения образцов ( $D = 36$  мм;  $d = 31$  мм  $\rightarrow A_F = 263$  мм<sup>2</sup>) позволяли создавать нормальное давление  $p_N$  на поверхностях трения до 380 МПа.

Коэффициент трения  $f_F$  определялся в предположении постоянства сил трения  $F$  по поверхности трения с использованием формулы

$$f_F = M_F/(ND_F); \\ D_F = \frac{2}{3}(D^3 - d^3)/(D^2 - d^2).$$

где  $M_F$  – измеряемый момент трения относительно оси вращения;  $D_F$  – приведенный диаметр сил трения.

Путь трения  $S_F$  находился на приведенном диаметре  $D_F$  по углу поворота образца  $\phi$  в виде

$$S_F = \pi(D - d)\phi/360,$$

а скорость скольжения  $v_{ск}$  вычислялась по формуле

$$v_{ск} = S_F/t,$$

где  $t$  – время, измеряемое по секундомеру.

Скорость скольжения на поверхности трения выдерживалась в пределах значений, характерных для затягивания резьбовых соединений: 0,6...1,5 мм/с.

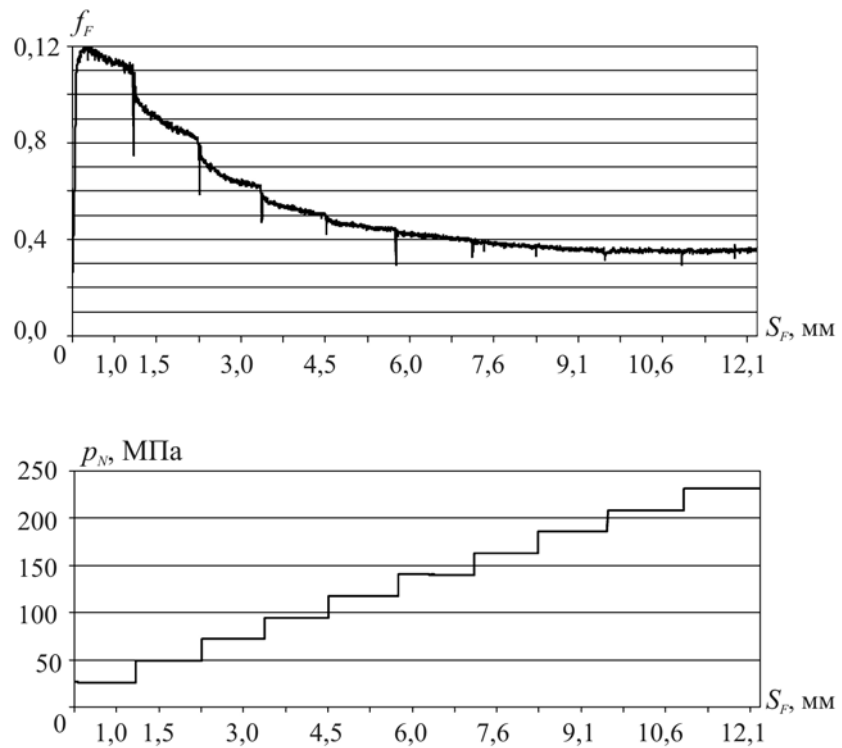


Рис. 2. Графики функций  $f_F(S_F)$  и  $p_N(S_F)$  для пары образцов 07Х16Н4Б-Ш – 08Х14НДЛ без покрытия поверхностей трения, со смазкой OKS245 (нагружение A)

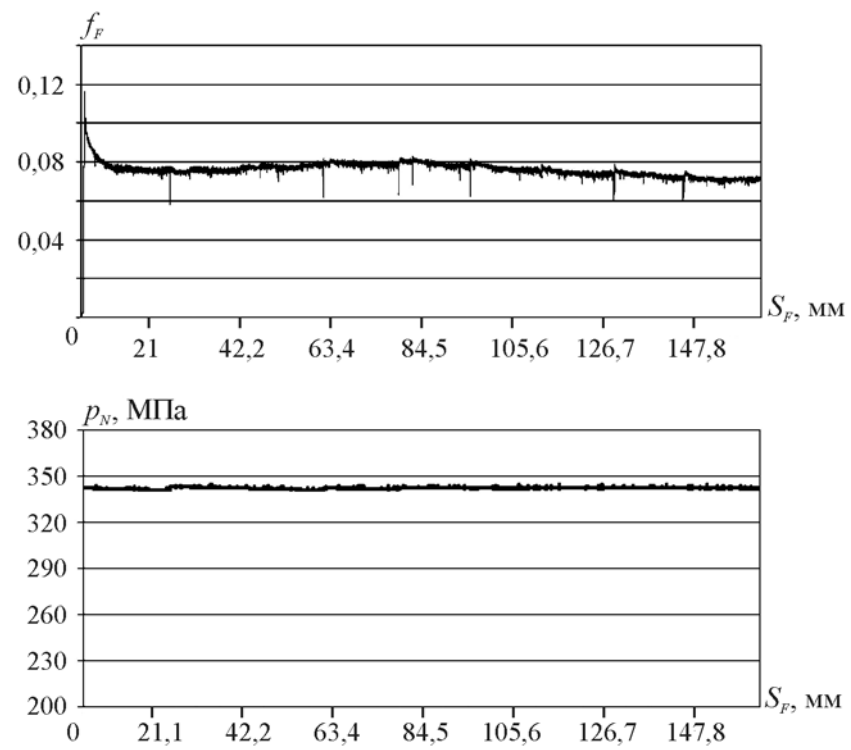


Рис. 3. Графики функций  $f_F(S_F)$  и  $p_N(S_F)$  для пары образцов 07Х16Н4Б-Ш – 08Х14НДЛ с покрытием поверхности трения подвижного образца медью, со смазкой OKS245 (нагружение B)

Сигналы тензодатчиков и моментного ключа регистрировались тензометрической станцией ZET 017-T8. По результатам их обработки строились синхронные графики расчетных зависимостей коэффициента трения  $f_F(S_F)$  и среднего нормального давления  $p_N(S_F)$  на поверхности трения от пути трения.

Расчетные средние давления на поверхности самого нагруженного витка резьбы для болтов типоразмеров M85×4...M100×4 составляли:

- 170...240 МПа – для ступиц из стали 08Х14НДЛ;
- 60...85 МПа – для ступиц из бронзы БРА9Ж4Н4МЦ.

Реальные же давления в резьбе из-за погрешностей изготовления профиля резьбы и перекосов болта в резьбовом отверстии ступицы могут быть намного больше.

Указанные условия в экспериментах реализовывались при ступенчато возрастающей силе  $N$  (нагружение  $A$ ) и при постоянной силе  $N$  (нагружение  $B$ ). Всего было испытано 92 пары образцов.

В случае нагружения  $A$  давление до выбранного значения увеличивалось десятию равными приращениями (ступенями), на каждой ступени путь трения принимался равным  $S_F = 1,2...1,5$  мм так, чтобы суммарный путь трения составлял  $S_F = 12...15$  мм.

Реальное максимальное давление на поверхностях трения образцов ( $p_N = 380$  МПа) примерно в 2 раза превышало расчетное в резьбе для ступиц из стали 08Х14НДЛ и в 5 раз – для ступиц из бронзы БРА9Ж4Н4МЦ. Реальный путь трения в резьбе при затягивании оказался значительно больше расчетного и составил для болтов M85×4...M100×4 примерно 60...70 мм. Эта разница объясняется наличием начальных зазоров и контактной податливостью в стыках резьбового соединения.

Для сравнительной оценки стойкости пар трения к схватыванию в реальных условиях коэффициент трения определялся при постоянном давлении (нагружение  $B$ ). В качестве критерия стойкости к схватыванию принимался путь трения, при котором коэффициент трения не превышал 0,2.

Примеры зависимостей коэффициента трения  $f_F$  и среднего нормального давления  $p_N$  на поверхности трения от пути трения  $S_F$  представлены на рис. 2 и рис. 3.

## Результаты исследования

### 1. Испытание эталонных пар образцов «сталь 07Х16Н4Б-Ш – бронза БРА9Ж4Н4МЦ»

При затягивании резьбовых соединений «болт – ступица (гайка)» (сталь 07Х16Н4Б-Ш – бронза БРА9Ж4Н4МЦ) схватывания резьбовых поверхностей не возникало, а момент при затягивании не превосходил расчетного, определенного предварительно с коэффициентом трения, равным 0,12. Эксперименты с указанной парой трения выполнялись как эталонные.

#### • Без смазки

При давлениях  $p_N = 70...240$  МПа (нагружения  $A$  и  $B$ ) и путях трения  $S_F \leq 70$  мм зависимостей коэффициента трения от давления и пути трения не наблюдалось. В момент начала скольжения (страгивания) коэффициент трения покоя составлял  $f_F = 0,11...0,13$ , затем резко (на пути трения  $S_F = 1...3$  мм) снижался до значений  $f_F = 0,09...0,11$  и далее практически не менялся. При нагружении  $B$  до давления  $p_N = 380$  МПа коэффициент трения на пути трения  $S_F = 30...45$  мм непрерывно возрастал от значений  $f_F = 0,10...0,11$  (коэффициент трения покоя) до значения  $f_F = 0,2$ .

#### • Со смазкой OKS 245

При давлениях  $p_N = 70...240$  МПа (нагружения  $A$  и  $B$ ) коэффициент трения покоя практически не зависел от давления и составлял  $f_F = 0,10...0,11$ . После начала скольжения коэффициент трения плавно снижался до значений  $f_F = 0,035...0,065$  на пути трения  $S_F = 18...25$  мм, затем оставался постоянным как минимум до значения  $S_F = 70$  мм.

При давлении  $p_N = 380$  МПа (нагружение  $B$ ) коэффициент трения покоя составлял  $f_F = 0,065...0,09$ , затем на пути трения  $S_F = 18...25$  мм плавно снижался до значений  $f_F = 0,032...0,050$ , после чего начинал возрастать, достигая значений  $f_F = 0,05...0,07$  при  $S_F = 70$  мм.

### 2. Испытание пар стальных образцов 07Х16Н4Б-Ш – 08Х14НДЛ без покрытия

#### • Без смазки

При нагружении  $A$  резкий рост коэффициента трения ( $f_F \geq 0,25$ ) начинался уже при давлениях  $p_N \geq 40$  МПа. Наблюдалось образование задиров по всей поверхности трения.

#### • Со смазкой OKS 245

При нагружении  $A$  до давления  $p_N = 380$  МПа в момент страгивания коэффициент трения покоя составлял  $f_F = 0,10...0,12$ , а при скольже-

ний коэффициент трения плавно снижался до значений  $f_F = 0,035...0,065$ .

При постоянном нагружении  $B$  до давления  $p_N = 240$  МПа в момент страгивания коэффициент трения покоя составлял  $f_F = 0,10...0,11$ , затем на пути трения  $S_F = 20...25$  мм плавно снижался до значений  $f_F = 0,055...0,065$ , после чего повышался до значений  $f_F = 0,10...0,13$  при  $S_F = 70$  мм.

### 3. Испытание пар стальных образцов 07Х16Н4Б-Ш – 08Х14НДЛ с покрытием Cu, Al, Zn поверхности трения подвижного образца

- Без смазки

При использовании медного покрытия (Cu) и ступенчатом нагружении  $A$  до  $p_N = 380$  МПа коэффициент трения практически не менялся и находился в пределах  $f_F = 0,09...0,12$ . При нагружении  $B$  до  $p_N = 240$  МПа на пути трения  $S_F = 25...40$  мм коэффициент трения был почти постоянным ( $f_F = 0,09...0,10$ ), затем плавно возрастил, достигая значений  $f_F = 0,13...0,14$  при  $S_F = 70...100$  мм.

При использовании алюминиевого покрытия (Al) и ступенчатом нагружении  $A$  до давления  $p_N = 380$  МПа коэффициент трения покоя составлял  $f_F = 0,10...0,12$ , а при скольжении плавно снижался до значений  $f_F = 0,065...0,08$ . При нагружении  $B$  до давления  $p_N = 240$  МПа коэффициент трения в момент страгивания составлял  $f_F = 0,09...0,11$ , снижаясь на пути трения  $S_F = 12...20$  мм до значений  $f_F = 0,065...0,08$ , затем оставался практически постоянным как минимум до  $S_F = 150$  мм.

При использовании цинкового покрытия (Zn) и ступенчатом нагружении  $A$  до давления  $p_N = 240$  МПа коэффициент трения практически не менялся и находился в пределах  $f_F = 0,07...0,09$ . При нагружении  $A$  до  $p_N = 380$  МПа коэффициент трения от значений при страгивании ( $f_F = 0,09...0,11$ ) повышался до значений  $f_F = 0,14...0,16$ . При нагружении  $B$  при  $p_N = 240$  МПа коэффициент трения увеличивался до  $f_F = 0,2$  на пути трения  $S_F = 30...40$  мм, а при давлении  $p_N = 380$  МПа – на пути  $S_F = 12...20$  мм. Рост коэффициента трения сопровождался разрушением слоя покрытия и переносом его фрагментов на поверхность другого образца.

- Со смазкой OKS 245

При использовании медного (Cu) и алюминиевого (Al) покрытий в ходе ступенчатого нагружения  $A$  до давления  $p_N = 380$  МПа коэффициент трения покоя  $f_F = 0,1...0,12$  при

скольжении снижался до  $f_F = 0,08...0,085$ . При нагружении  $B$  до  $p_N = 380$  МПа коэффициент трения покоя при страгивании составлял  $f_F = 0,1...0,11$ , снижаясь на пути трения  $S_F = 15...30$  мм до  $f_F = 0,06...0,085$ , затем оставался практически постоянным как минимум до  $S_F = 150$  мм.

### Обсуждение полученных результатов

Результаты проведенных экспериментов можно считать ожидаемыми, так как качественно они не противоречат имеющимся данным.

В целом для всех исследованных материалов пар трения, как со смазкой, так и без нее, коэффициент трения в первую очередь зависит от пути трения скольжения. После страгивания коэффициент трения снижается до минимума и стабилизируется на некотором участке пути трения, после чего начинает расти.

Давление на поверхности трения в основном определяет величину пути трения, на котором коэффициент трения снижается и остается постоянным.

Использование смазки OKS 245 не влияет на коэффициент трения покоя, но значительно уменьшает коэффициент трения скольжения, особенно с увеличением пути трения. При этом растет разброс значений коэффициента трения скольжения по сравнению с сухим трением.

I. В паре трения стальных образцов 07Х16Н4Б-Ш – 08Х14НДЛ *без смазки и покрытия* при давлениях 30...40 МПа начинается схватывание и возникают задиры по всей поверхности трения при небольшом (3...5 мм) пути трения. Это подтверждает склонность такой пары материалов к схватыванию поверхностей при трении.

II. В паре трения «сталь 07Х16Н4Б-Ш – бронза БРА9Ж4Н4МЦ» *без смазки* при давлении  $p_N = 380$  МПа (в 5 раз выше расчетных для ступиц из БРА9Ж4Н4МЦ) на пути трения 12...15 мм (расчетный путь трения при затягивании) коэффициент трения не превышает значения 0,11. При давлениях  $p_N \leq 240$  МПа коэффициент трения не превышает 0,12 при пути трения  $S_F = 70$  мм (реальный путь трения при затяжке болтов M85×4...M100×4).

Использование смазки OKS 245 снижает коэффициент трения скольжения в 1,5...3 раза и обеспечивает его стабильность на пути трения как минимум до значения  $S_F = 70$  мм при давлениях до  $p_N = 380$  МПа.

Учитывая, что соответствующего снижения момента при затягивании болтов не происходит, можно сделать вывод, что реальные условия смазывания отличаются от экспериментальных в худшую сторону. Поэтому в расчетах следует ориентироваться на результаты испытаний без смазки, считая их воспроизводящими самые неблагоприятные условия трения в резьбе при затягивании.

III. В паре трения стабильности образцов 07Х16Н4Б-Ш – 08Х14НДЛ с покрытием подвижной поверхности 07Х16Н4Б-Ш медью или алюминием без смазки при давлениях до  $p_N = 380$  МПа (в 1,5...2 раза выше расчетных для ступиц из 08Х14НДЛ) на пути трения 12...15 мм схватывание отсутствует, а коэффициент трения не превышает 0,12. При давлениях до  $p_N = 240$  МПа схватывание отсутствует, а коэффициент трения не превышает 0,14 на пути трения  $S_F = 70$  мм.

Покрытие Al по сравнению с Cu обеспечивает заметно меньший коэффициент трения скольжения, причем на значительно большем пути трения. Покрытие Zn имеет намного меньшую стойкость к схватыванию по сравнению с покрытиями Cu или Al.

При использовании смазки OKS 245 при давлениях до 380 МПа коэффициент трения покоя не превышает 0,12, а коэффициент трения скольжения снижается до 0,08 на пути трения 15...30 мм и остается постоянным на пути трения не менее 150 мм.

Как уже указывалось, в производственных условиях при затягивании болтовых соединений «лопасть – ступица», в которых болт и ступица (гайка) изготовлены из нержавеющих сталей, схватывание резьбовых поверхностей возникает довольно часто, несмотря на покрытие резьбы болта медью и использование антизадирной смазки. Анализ полученных экспериментальных результатов позволяет предположить, что это явление в основном связано с тем, что реальное давление на поверхностях резьбы при затягивании намного превышает расчетное, в первую очередь на кромках поверхностей резьбы.

### **Выводы и практические рекомендации**

Проведенные исследования показали, что для снижения вероятности схватывания поверхностей резьбы и момента трения при затягивании болтов необходимо уменьшать максимальное давление в резьбе, снижая неравномерность распределения нагрузки по ее виткам и устранивая кромочные контакты корректированием профиля резьбы. Кроме того, целесообразно заменить медное покрытие поверхности резьбы на алюминиевое, обеспечивающее при сухом трении меньший коэффициент трения и большую стойкость к схватыванию.

### **Заключение**

Проведенные экспериментальные исследования являются весьма полезными для оценки фрикционных характеристик материалов высоконагруженных резьбовых соединений, применяющихся для гребных винтов.

Параметры испытаний образцов с плоскими торцевыми поверхностями трения соответствовали условиям, воспроизводящим реальные. Такими параметрами являлись значения скорости и пути скольжения, а также ширина поверхности трения, близкая к ширине витка используемой резьбы.

В проводимых экспериментах максимальное давление на поверхности образцов в 2 раза превышало среднее расчетное для ступиц из стали и в 5 раз для ступиц из бронзы. Дальнейшее увеличение давления ограничивалось возможностями установки. Среднее расчетное давление можно считать оценкой снизу реального давления. В дальнейшем планируется получение расчетной оценки сверху максимального давления в резьбе с учетом пластической деформации витков резьбы.

### **Список литературы**

1. Биргер И.А., Иосилевич Г.Б. Резьбовые и фланцевые соединения. – М.: Машиностроение, 1990. – 368 с.
2. Иванов А.С. Методы повышения надежности машин // Вестник машиностроения. 2009. № 2. С. 40–42.

*Материал поступил в редакцию 12.03.13.*

**МАЛЫГИН**

**Владимир Иванович**  
E-mail: v.malygin@narfu.ru  
Тел.: (8184) 58-07-89

Доктор технических наук, профессор Института судостроения и морской арктической техники Северного (Арктического) федерального университета. Сфера научных интересов – автоматизация проектирования средств технологического оснащения. Автор более 190 научных работ.

**ЛОБАНОВ**

**Николай**  
**Владимирович**  
E-mail: listik029@rambler.ru  
Тел.: (8184) 58-07-89

Кандидат технических наук, доцент Института судостроения и морской арктической техники Северного (Арктического) федерального университета. Сфера научных интересов – математическое моделирование физических процессов при резании, прикладная механика и машинообрабатывающее оборудование. Автор более 20 научных работ.

**ВАСИЛЬЕВ**

**Андрей**  
**Владимирович**  
E-mail: an\_vasss@mail.ru  
Тел.: (8184) 59-62-34

Аспирант Института судостроения и морской арктической техники Северного (Арктического) федерального университета, ведущий инженер-конструктор ОАО «Центр судоремонта «Звездочка». Сфера научных интересов – исследование и разработка новых конструкций высоконагруженных болтовых соединений (ВНБС) сборных гребных винтов, новые методы расчета ВНБС с помощью конечно-элементного моделирования. Автор одной научной работы и трех патентов.